

讨 论

食管癌是全世界高发肿瘤之一,尽管过去20多年来对食管癌的治疗手段不断改进,但食管癌患者的5年生存率仍只有15%~34%^[5]。化疗是晚期食管癌综合治疗中的常用手段,如何降低肿瘤对化疗药物耐药、增加化疗药物的敏感度是近年来研究的热点。

HO-1被认为是体内的一种细胞保护基因,各种氧化应激和炎症因子均能诱导其表达。最近的研究发现HO-1在食管癌等多种肿瘤中高表达,其表达的增加可以上调多药耐药(MDR)蛋白和多药耐药相关蛋白(Mrp)的生成,从而降低肿瘤细胞对放化疗的敏感度^[6,7]。本研究利用的HO-1 siRNA在mRNA和蛋白水平均可以对HO-1进行有效的抑制,而Hemin(10μmol/L)对HO-1的表达有促进作用。MTS法、流式细胞术检测结果显示,与空白对照组比较,HO-1表达的升高使细胞对5-FU的敏感度下降,而干扰HO-1表达后,细胞对5-FU的敏感度增强,其增殖能力减弱,凋亡增加。

HO-1表达上调增加肿瘤细胞对化疗药物敏感度,其具体分子机制可能是:①HO-1催化血红素降低细胞内促氧化介质,并增加铁离子内流,诱导强抗氧化剂铁蛋白的合成;②HO-1的代谢产物CO、胆绿素具有抗凋亡和抗自由基的作用;③HO-1通过PI₃K/AKT、MAPK等信号系统影响细胞的活性^[1]。最近研究认为,活性氧(ROS)与细胞凋亡密切相关,而基因沉默HO-1后能诱导细胞内活性氧(ROS)表达增加及线粒体功能障碍,这可能是导致肿瘤细胞对

化疗药物敏感度增加的原因^[8]。综上所述,应用小RNA干扰技术特异性抑制HO-1基因的表达,以增强肿瘤细胞对化疗的敏感度,对临床肿瘤治疗有一定的潜在研究价值。

参考文献

- Berberat PO, Damrauskas Z, Gulbinas A, et al. Inhibition of heme oxygenase - 1 increases responsiveness of pancreatic cancer cells to anticancer treatment [J]. Clin Cancer Res, 2005, 11(10): 3790~3798
- Kuroda H, Takeno M, Murakami S, et al. Inhibition of heme oxygenase - 1 with an epidermal growth factor receptor inhibitor and cisplatin decreases proliferation of lung cancer A549 cells [J]. Lung Cancer, 2010, 67(1): 31~36
- Miyake M, Fujimoto K, Anai S, et al. Clinical significance of heme oxygenase - 1 expression in non - muscle - invasive bladder cancer [J]. Urol Int, 2010, 85(3): 355~363
- 夏利龙,朱成楚,陈保富,等.血红素加氧酶-1对食管癌细胞株Eca109增殖及凋亡作用的影响[J].医学研究杂志,2013,42(8):60~63
- Allum WH, Stenning SP, Bancewicz J, et al. Long - term results of a randomized trial of surgery with or without preoperative chemotherapy in esophageal cancer [J]. J Clin Oncol, 2009, 27(30): 5062~5067
- 张健,朱成楚,陈保富,等.血红素加氧酶-1在食管癌中的表达及意义[J].实用医学杂志,2011,27(20):3635~3637
- 张健,朱成楚.血红素加氧酶-1与食管疾病的关系[J].温州医学院学报,2011,41(6):594~600
- Kongpatch S, Kukongviriyapan V, Prawan A, et al. Crucial role of heme oxygenase - 1 on the sensitivity of cholangiocarcinoma cells to chemotherapeutic agents [J]. PLoS One, 2012, 7(4): e34994

(收稿日期:2014-02-11)

(修回日期:2014-02-20)

siRNA 靶向干扰 COX - 2 基因对胃癌 BGC823 细胞侵袭、迁移的影响

于建平 刘宏斌 韩晓鹏 苏琳 李洪涛 李坤 王璟

摘要 目的探讨siRNA靶向干扰COX-2基因对胃癌细胞BGC823侵袭迁移能力的影响及可能机制。**方法**应用Lipofectamine 2000将COX-2 siRNA(siRNA-COX-2组)阴性对照siRNA(siRNA-control组)转入到细胞BGC823中,应用Transwell小室分析胃癌细胞BGC823转染前后对胃癌细胞侵袭、迁移能力的变化。应用RT-PCR检测胃癌细胞转染前后COX-2、β-catenin的mRNA水平,应用Western blot法检测胃癌细胞转染前后COX-2、β-catenin、MMP-2、MMP-9的蛋白的表达水平

基金项目:甘肃省科技厅科技重大专项基金资助项目(2010GS04390)

作者单位:730000 兰州大学第二临床医学院(于建平、王璟);730050 兰州军区兰州总医院(刘宏斌、韩晓鹏、苏琳、李洪涛、李坤)

通讯作者:刘宏斌,电子信箱:LiuHongbin999@163.com

变化。结果 siRNA - COX - 2 组穿过 Transwell 小室微孔膜的细胞数明显下降, COX - 2、 β - catenin 的 mRNA 水平及 COX - 2、 β - catenin、MMP - 2、MMP - 9 的蛋白的表达水平明显减少 ($P < 0.05$)。结论 COX - 2 基因的表达与胃癌细胞 BGC823 的侵袭、迁移密切相关, 可能与通过抑制 WNT/ β - catenin 信号通路抑制 MMP2、MMP9 有关。

关键词 COX - 2 β - catenin 侵袭 迁移 siRNA

[中图分类号] R735 [文献标识码] A

Small Interfering RNA - mediated COX - 2 Gene Silencing Inhibits the Invasion and Migration of Gastric Cancer Cell Line BGC823. Y u Jianping, Liu Hongbin, Han Xiaopeng, et al. The Second Clinical Medical College of Lanzhou University, Gansu 730000, China

Abstract Objective To investigate the effect of small interfering RNA - mediated COX - 2 gene silencing inhibits on invasion and migration of gastric cancer cell line BGC823 and its mechanism. **Methods** COX - 2 siRNA was transfected into cell line BGC823 using Lipofectamine 2000. The cell migration and proliferation was evaluated using Transwell. The transcription of COX - 2 and β - catenin was detected by semi - quantitative reverse transcription - polymerase chain reaction, and the protein expression level of COX - 2, β - catenin, MMP - 2, MMP - 9 was detected by Western blot. **Results** The cells numbers of siRNA - COX - 2 through the Transwell chambers microporous membrane was significantly decreased. The transcription of COX - 2, β - catenin and the protein expression of COX - 2, β - catenin, MMP - 2, MMP - 9 were significantly decreased. **Conclusion** The COX - 2 gene expression is closely related to the cell invasion and migration of gastric cell line BGC823, maybe inhibit the expression of MMP2 and MMP9 by inhibit the WNT/ β - catenin signaling pathway.

Key words COX - 2; β - catenin; Invasion; Migration; siRNA

胃癌是我国最常见的消化道恶性肿瘤之一, 每年新发病例约 40 万, 占世界新发胃癌的 42%。而手术治疗是目前胃癌治疗的基本手段^[1,2]。但有很多胃癌患者明确诊断后已到中晚期, 单纯手术治疗效果不佳, 手术后辅助化疗效果也并不太理想^[3]。因此靶向药物治疗成为是目前治疗恶性肿瘤的新方向。COX - 2 是在病理状态下促进花生四烯酸转化为前列腺素 2 的限速酶, 目前多项研究表明 COX - 2 在调控胃癌细胞增殖、凋亡、前致癌物活化、血管生成及浸润转移等方面有高度相关性^[4]。约 70% 的胃癌组织中表达 COX - 2, 因此其有望成为胃癌靶向药物治疗的一个靶点, 本实验通过应用 siRNA 靶向干扰高表达 COX - 2 胃癌细胞株 BGC823, 来研究其在胃癌细胞侵袭、迁移中的作用机制。

材料与方法

1. 材料及试剂: 人胃癌细胞系 BGC823 由兰州大学第二临床学院普外科实验室赠予。胎牛血清, RPMI 1640 培养液购自于 Hyclone 公司, Lipofectamine 2000, 化学合成的 siRNA - COX - 2 及 siRNA Reagent System, siRNA - Negative Control 购自 SantaCruz 公司; 兔抗人 COX - 2 抗体、兔抗人 β - catenin 抗体、兔抗人 MMP2 抗体、兔抗人 MMP9 抗体及兔抗人 β - actin 购自 ABCOM 公司, 鼠抗兔二抗购自北京中杉金桥公司, Transwell 小室购自 Sigma 公司, Matrigel 基质胶购自 BD 公司。Trizol 试剂及 RT - PCR 试剂盒购自日本 TaKaRa 公司, PCR 引物由宝生物工程(大连)有限公司合成。

2. 实验仪器: CO_2 细胞培养箱 (Thermo Electron Corporation 公司), 生物安全柜 (Forma Scientific 公司), ChemiDoc -

It2 凝胶成像分析系统(美国 UVP 公司), 凝胶电泳仪 (Amer sham Biosciences)。

3. 细胞培养及转染: 配制含有 10% 的胎牛血清的 RPMI1640 培养液为完全培养基培养细胞, 于 37°C、5% CO_2 培养箱常规培养。转染前一天将对数生长其胃癌细胞 BGC823 接种于 6 孔板内, 每孔接种 5×10^5 个细胞, 准备 siRNA - COX - 2 及 siRNA - Negative Control, 待细胞贴壁 80% 左右时应用 Lipofectamine 2000 转染 BGC823 细胞。转染 6h 后加入等体积的含有 20% 的胎牛血清的培养基继续培养 48 ~ 72h, 转染成功细胞用于 Transwell 小室侵袭、迁移实验及 Western blot 法检测。

4. Transwell 法胃癌细胞体外侵袭实验: 实验前将枪头、RPMI 1640 培养液、Transwell 小室、24 孔板置于 4°C 冰箱预冷, -20°C 保存的 Matrigel 于 4°C 冰箱过夜融化, 用 RPMI 1640 培养液按 1:8 稀释, 取 20 μl 平铺于 Transwell 板上室 37°C, 30min 聚合成胶。取转染 48h 的 siRNA - COX - 2 组和 siRNA - control 组细胞用 PBS 洗 3 次, 用 RPMI 1640 培养液制成 5×10^5 个/毫升细胞悬液, 于上室加入 200 μl 细胞悬液, 下室加入 500 μl 完全培养基。设 3 个复孔, 置于 37°C、5% CO_2 培养箱常规培养 24h, 取出 Transwell 小室, 吸出培养液, 并用 PBS 洗涤 2 次, 用 0.1% 结晶紫染色固定 30min, 用棉签轻轻擦除上层未迁移细胞及 Matrigel, 用 PBS 洗涤 2 次。400 倍显微镜下(高倍视野)随机计数 5 个视野细胞数, 取 5 个视野平均细胞数。

5. Transwell 法胃癌细胞体外迁移实验: 本实验方法与肿瘤侵袭实验相同, 不同之处是本实验 Transwell 小室上室无需加入 Matrigel。

6. RT - PCR 检测转染前后 COX - 2、 β - catenin 的 mRNA 表达水平: 组织总 RNA 的提取参照 RNAiso 试剂盒 (TAKARA 公司) 说明书操作, 进行 RNA 纯度测定、浓度检测和 RNA 完

整性检测。按说明书操作完成反转录后,配制 PCR 反应体系,进行 PCR 反应。引物序列及长度见表 1。反转录反应条件为:37℃ 15min,85℃ 5s,4℃ 5min;PCR 反应采用 25μl 反应体系,反应条件为:95℃ 2min,95℃ 30s,32 个循环;55℃ 30s,32 个循环;72℃ 30s,32 个循环;72℃ 3min。反应结束后取 PCR 扩增产物进行琼脂糖凝胶电泳,紫外光下拍照记录结果。

表 1 引物的序列及长度

基因	引物	序列(5'→3')	扩增长度(bp)
COX - 2	F	TCCCTGACCATCTACGGTT	108
	R	CATCGCATACTCTGTTGTGTT	
β - catenin	F	GAGTGCTGAAGGTGCTATCTGTCG	115
	R	TTCTGAACAAGACGTTGACTTGGAA	
β - actin	F	TCCTGTGGCATCCACGAAACT	315
	R	GAAGCATTGCGGTGGACGAT	

7. 应用 Western bolt 法检测转染前后 COX - 2、 β - catenin、MMP - 2、MMP - 9 的蛋白表达水平:将正常细胞、转染 siRNA - COX - 2 及 siRNA - negative control 72h 后细胞,用 PBS 洗涤 2 次,每瓶加入 200μl + 2μl PMSF 于 4℃ 裂解 30min,用干净细胞刮刀刮取瓶壁细胞,收集瓶内细胞碎片和裂解液至 1.5ml 离心管,4℃ 下 1400 × g 离心 10min,吸取上清,分装至 1.5ml 离心管,应用 BCA 法测定蛋白浓度后,加入 SDS - PAGE 蛋白上样缓冲液水浴 5min 变性处理。每个电泳道上样 20μg 总蛋白,用 10% 的分离胶。先用 80V 恒压电泳至溴酚蓝进入分离胶,约 30min,后转用 120V 恒压电泳至溴酚蓝刚好跑出分离胶时约 40min,终止电泳。将蛋白质 300mA 恒流电转至 PVDF 膜上;5% 脱脂奶室温封闭 2h 后,分别与相应一抗(1:500)4℃ 孵育过夜,二抗(1:7500)室温避光孵育 1.5h,然后使用加入 ECL 超敏发光液在 ChemiDoc - It2 凝胶成像分析系统中选择合适曝光时间曝光。以目的条带吸光度值与对应 β - actin 的吸光度值之比作为目的蛋白表达强弱的指标。

8. 统计学方法:数据采用 SPSS 18.0 软件包进行统计分析,计量资料以均数 ± 标准差($\bar{x} \pm s$)表示,组间比较使用 t 检验,以 $P < 0.05$ 为差异有统计学意义。

结 果

1. 侵袭、迁移实验结果:随机抽取 5 个高倍视野计算每个视野的细胞总数,取平均值。结果表明正常细胞穿过微孔膜的细胞数于 siRNA - control 组无明显差异($P > 0.05$),而 siRNA - control 组穿过微孔膜的细胞数明显多于 siRNA - COX - 2 组($P < 0.05$),详见图 1~图 3、表 2。

2. 转染 siRNA - COX - 2 后,COX - 2、 β - catenin mRNA 及蛋白水平表达下调:BGC823 细胞稳定感染后,采用 RT - PCR 及 Western blot 法检测 COX2、 β - catenin mRNA 和蛋白的表达情况。RT - PCR 结果显示,与 BGC823 组及 siRNA - control 组相比,转

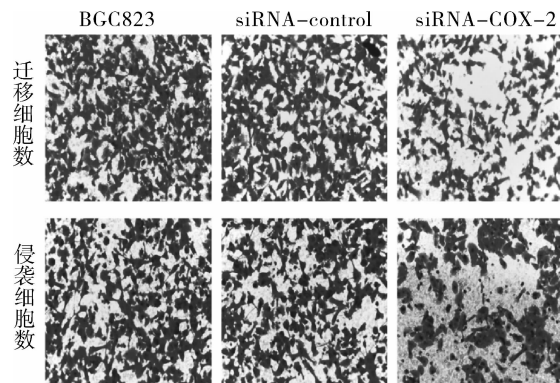


图 1 转染后各组迁移、侵袭能力变化(×400)

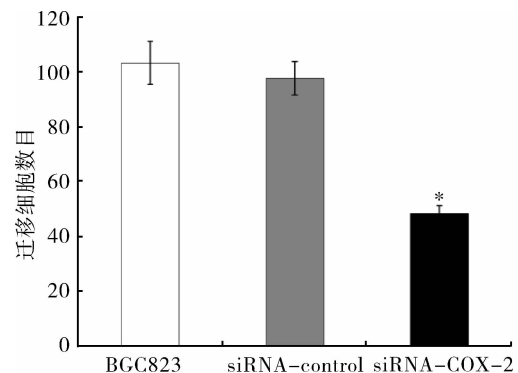


图 2 转染后各组迁移能力之间的比较

与 siRNA - control 组相比, * $P < 0.05$

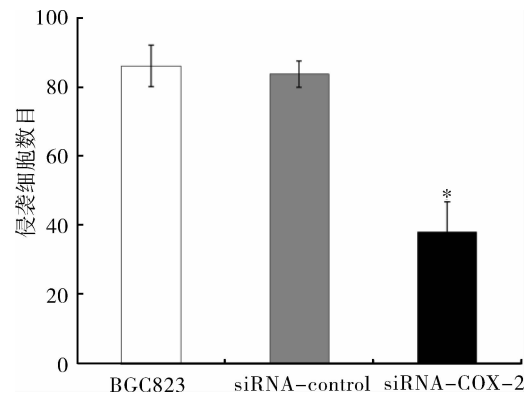


图 3 转染后各组侵袭能力之间的比较

与 siRNA - control 组相比, * $P < 0.05$

表 2 各组穿过微孔膜的细胞数($\bar{x} \pm s$)

组别	复孔(n)	迁移	侵袭
BGC823 组	3	103.3 ± 7.8	88.5 ± 7.9
siRNA - control 组	3	97.7 ± 6.1	84.9 ± 6.5
siRNA - COX - 2	3	48.3 ± 3.1	37.6 ± 5.2

与 siRNA - COX - 2 组比较, * $P < 0.05$

染 siRNA - COX - 2 后,COX - 2、 β - catenin 的 mRNA 表达明显下调($P < 0.05$,图 4)。而 Western blot 结果也发现实验组中的 COX - 2、 β - catenin 蛋白表达降

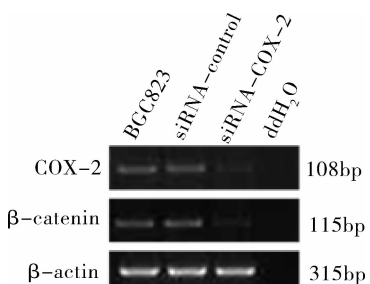


图 4 转染 48h 后 COX-2、β-catenin mRNA 表达变化

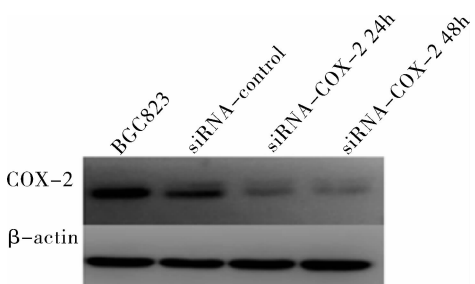


图 5 转染 24、48h 后 COX-2 蛋白表达变化

低,结果与 RT-PCR 结果一致($P < 0.05$,图 5)。与此同时,Western blot 法检测结果还发现,COX-2 表达下调后,相关信号分子 MMP-2、MMP-9 蛋白的相对表达量显著降低($P < 0.05$,图 6)。进而说明 COX-2 是通过调控这些信号分子的表达影响了胃癌细胞的生物学功能。

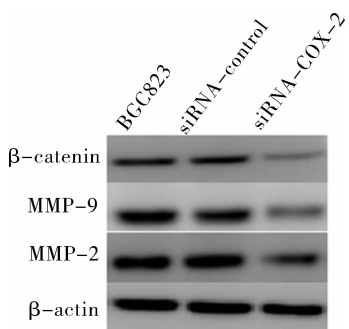


图 6 转染 48h 后 β-catenin、MMP-9、MMP-2 蛋白表达变化

讨 论

RNAi 是 1998 年 Fire 等^[5]首次成功应用并命名的一项新的基因抑制技术,因其具有高度的保守性及特异性,及其与传统的基因抑制方法相比具有更强、更持久的抑制效果,而被广泛应用于基因治疗的研究中^[5,6]。近年来,随着对胃癌的研究, RNAi 技术在胃癌的研究中也取得了很大的成就,其不但在体外实验中有较强的抑制效果,其在低等动物甚至哺乳动物研

究中也得到令人满意的效果^[7]。Yi 等^[4]通过 siRNA 沉默 SGC 7901 中 PRL-3 基因后发现 ERK 1/2 mRNA 及蛋白水平明显降低,并且胃癌细胞的运动及迁移能力均下降。本实验也应用 RNAi 技术抑制 COX-2 基因的表达观察体外细胞侵袭、迁移能力的变化,并得到预期效果。因此该技术有望成为于人类基因组功能研究、基因治疗及药物开发等方面的一种新手段。

近年来 COX-2 基因的高表达与肿瘤的关系得到广泛关注,大量研究表明 COX-2 高表达于胃癌的发生密切相关,其主要可以通过促进细胞增殖、抑制细胞凋亡、促进血管生成、增强肿瘤侵袭能力、耐药及免疫抑制等方面影响患者预后^[8~10]。目前选择性 COX-2 抑制剂已被美国 FDA 批准为结肠家族性腺瘤病的治疗药物,预防结肠癌的发生,而其靶向抑制剂塞来昔布在胃癌中的应用也取得一定成果^[11,12]。在癌症的发生机制中,往往于多条信号通路有关,而处于通路上游或节点基因往往调控多条信号通路,本实验通过从基因水平靶向敲出 COX-2 基因观察 WNT 信号通路的变化及于 MMP-2、MMP-9 的关系。WNT 信号通路目前主要有:①经典 WNT/β-catenin-TCF/LEF 通路;②平面细胞极性通路;③WNT/Ca²⁺ 通路;④调节纺锤体方向和非对称细胞分裂的细胞内途径。而 β-catenin 在胃癌发生发展中起关键作用,正常情况下 β-catenin 在胞质中与 Axin、APC、CK1 及 GSK-3β 结合形成 Axin-APC-GSK-3β 复合物导致 β-catenin 降解而维持在较低水平。而 WNT 信号通路激活后,抑制了 Axin-APC-GSK-3β 复合物的形成,进而导致 β-catenin 降解减少,大量 β-catenin 在胞质中异常聚集并核定位,进入细胞核的 β-catenin 即可激活 WNT 信号通路,导致肿瘤的发生及转移^[13,14]。大量研究表明,COX-2 信号通路的激活可激活 WNT 信号通路,并促进肿瘤的生成。另有研究表明,在肠型胃癌中,COX-2 及 WNT 信号通路均激活,甚至在模拟裸鼠模型发现,只有其中一条信号通路激活的前提下不能形成胃癌模型,因此这两条通路在胃癌中一定存在协同关系,促进肿瘤的形成及发展^[15,16]。

肿瘤细胞从细胞间粘连中脱离出来,通过细胞外基质的阻挡而进入其他组织、血管、淋巴管中而发生转移。而基质金属蛋白酶家族(MMPs)是引起细胞外基质降解的主要酶类之一。其异常表达与胃癌的侵袭迁移有密切关系^[17]。大量研究表明,COX-2/

PGE₂ 及 Wnt/β - catenin 信号通路于 MMPS 的表达有关^[18~21]。本实验通过 siRNA - COX - 2 靶向沉默胃癌细胞株 BGC823 COX - 2 基因后发现 COX - 2、β - catenin mRNA 及蛋白水平明显下降, 而 Transwell 小室实验发现 COX - 2 基因沉默后细胞的侵袭迁移能力明显下降, 笔者认为其下降于 MMP - 2、MMP - 9 表达降低有关, 而 β - catenin 细胞内表达降低则是因为 COX - 2 通路的关闭。而 MMP - 2、MMP - 9 表达降低与 β - catenin 的表达呈正相关, 其机制可能是 COX - 2 通过抑制 β - catenin 来完成的。

综上所述, COX - 2/PGE₂ 及 Wnt/β - catenin 信号通路均在胃癌的早期发生作用, 它们之间的协同作用促使胃癌的发生、发展。两个信号通路的抑制对胃癌的治疗至关重要, 有效抑制两通路的激活对防止胃癌的转移有重要意义, 对这两个通路的研究将对胃癌的个体化治疗提供有力证据。

参考文献

- 1 郑民华, 藏路. 腹腔镜胃癌根治术的现状 [J]. 腹腔镜外科杂志, 2010, 15(3): 161~163
- 2 郑民华, 藏路. 腹腔镜外科治疗早期胃癌的现状 [J]. 内科理论与实践, 2010, 5(3): 203~206
- 3 Song W, Jiang R, Zhao CM. Role of integrin - linked kinase in multi - drug resistance of human gastric carcinoma SGC7901/DDP cells [J]. Asian Pac J Cancer Prev, 2012, 13(11): 5619
- 4 Yi Cao, Yi Tu, Jinhong Mei, et al. RNAmediated knockdown of PRL3 inhibits cell invasion and down regulates ERK 1/2 expression in the human gastric cancer cell line, SGC7901 [J]. Mol Med Rep, 2013, 7(6): 1805~1811
- 5 Fire A, Xu S, Montgomery M, Kostas S, et al. Potent and specific genetic interference by double - stranded RNA in *Caenorhabditis elegans* [J]. Nature, 199, 391 (6669): 806~811
- 6 Dorsett Y, Tuschl T. siRNAs: applications in functional genomics and potential as therapeutics [J]. Nat Rev Drug Discov, 2004, 3(4): 318~329
- 7 Fujita T, Yanagihara K, Takeshita F, et al. Intraperitoneal delivery of a small interfering RNA targeting NEDD1 prolongs the survival of scirrhous gastric cancer model mice [J]. Cancer Sci, 2013, 104(2): 214~222
- 8 张艳飞, 王璐, 符兆英. 环氧化酶 - 2 与肿瘤的发生发展 [J]. 中华实用全科医学杂志, 2005, 5(11): 25~26
- 9 朱风尚, 陈锡美, 王毅军, 等. 塞来昔布增强胃癌化疗药物疗效的机制研究 [J]. 中国临床药理学杂志, 2009, 3(24): 237~239
- 10 张富华, 庄剑波. 环氧化酶 - 2 与胃癌的研究进展 [J]. 国际内科学杂志, 2009, 36(7): 395~398
- 11 凌桂琴, 王绪, 王琳, 等. 塞来昔布对胃癌细胞增殖的影响 [J]. 河南医学研究, 2006, 15(4): 332~335
- 12 周海存, 刘宏斌. 塞来昔布防治胃癌的机制及应用前景 [J]. 中华消化外科杂志, 2013, 12(4): 317~320
- 13 Neth P, Ries C, Karow M, et al. The Wnt signal transduction pathway in stem cells and cancer cells: influence on cellular invasion [J]. Stem Cell Rev, 2007, 3(1): 18~29
- 14 Reya T, Clevers H. Wnt signalling in stem cells and cancer [J]. Nature, 2005, 434 (7035): 843~850
- 15 刘宣, 李丹光, 周利红, 等. COX - 2/PGE2 激活 WNT/β - catenin 信号通路调控人肠癌细胞 VEGF 表达 [J]. 第二军医大学学报, 2012, 11(33): 1178~1181
- 16 Hiraku I, Hiroko O, Masanobu O, et al. Mouse gastric tumor models with prostaglandin E2 pathway activation show similar gene expression profiles to intestinal - type human gastric cancer [J]. BMC GENOMICS, 2009, 10: 615
- 17 袁宏伟. 缺氧诱导因子 1α 诱导型一氧化碳合酶在胃癌中的表达研究 [J]. 中国医刊, 2013, 48(6): 29~31
- 18 饶芳, 杨玉珍, 刘南植. COX - 2 与 MMP - 2 蛋白在胃癌组织中的表达及意义 [J]. 胃肠病学和肝病学杂志, 2004, 13(2): 147~150
- 19 张占学, 范占彬, 杨彦林. 胃癌中 COX - 2、MMP - 9 与 hMSH2 表达的相关性研究 [J]. 河北医药, 2013, 35(10): 1447~1449
- 20 宋隆明. SOX7 对胃癌 MKN45 细胞株体外迁移侵袭的影响 [J]. 重庆医学, 2012, 41(24): 2504~2509
- 21 田素芳, 熊永炎. β - 连接素和基质金属蛋白酶 - 2 在胃腺癌组织和淋巴结转移灶中的表达及其意义 [J]. 武汉大学学报(医学版), 2010, 31(2): 216~219

(收稿日期: 2014-02-02)

(修回日期: 2014-02-17)

《医学研究杂志》启用远程稿件处理系统的启事

《医学研究杂志》目前已经启用远程稿件处理系统, 请各位作者登陆《医学研究杂志》网站: <http://www.yx-yjzz.cn>, 登陆注册投稿系统, 填写作者相关信息后进行投稿。咨询电话: 010-52328679(单政编辑)。